

## ВЛИЯНИЕ НЕОДНОРОДНЫХ СОСТОЯНИЙ НА ФАЗОВЫЙ ПЕРЕХОД ПАРАМАГНЕТИК – ФЕРРОМАГНЕТИК

В. Г. Барьяхтар, В. Ф. Клепиков

В экспериментах Драбкина и др. [1, 2] по рассеянию поляризованных нейтронов на монокристаллах никеля было убедительно показано, что в окрестности температуры Кюри имеется неоднородное намагничение. Вместе с тем, при теоретическом исследовании фазового перехода из пара- в ферромагнитную фазу обычно рассматривают только однородные состояния намагничения [3, 4]. В настоящей статье мы покажем, что учет поля магнитного дипольного взаимодействия приводит к тому, что этот переход происходит как переход из парамагнитной фазы в ферромагнитную фазу с неоднородным распределением намагничения и вычислим параметры этого распределения.

Будем исходить из следующего выражения для свободной энергии ферромагнитного образца

$$F = \int \left\{ \frac{1}{2} x_0^2 \left( \frac{\partial M_i}{\partial x_k} \right)^2 - \frac{1}{2} \beta M_z^2 + \frac{1}{4} b (M^2 - M_0^2)^2 + \frac{1}{4} [(\beta^2/b) + 2M_0^2 \beta] \right\} dv + \int \frac{H_m^2}{8\pi} dv, \quad (1)$$

где первое слагаемое – обменная энергия ( $x_0^2 \sim (l/\mu^2)\sigma^2$ ,  $l$  – обменный интеграл,  $\mu$  – магнетон Бора,  $\sigma$  – постоянная решетки), связанная с неоднородностями намагничения,  $\beta$  – константа магнитной анизотропии ( $\beta \gg 1$ ), третье слагаемое – обычное разложение для свободной энергии ферромагнетика в окрестности точки фазового перехода [5], четвертое постоянное слагаемое добавлено для удобства, последнее слагаемое – энергия магнитного поля, обусловленного намагничением образца (интегрирование в этом слагаемом ведется по всему пространству).

Будем предполагать, что тело имеет форму плоскопараллельной пластинки толщиной  $l_3$ , поверхности которой перпендикулярны оси легкого намагничения (оси  $z$ ). Считая, что при переходе из пара- в ферромагнитную фазу  $\mathbf{M} = (0, 0, M_z(x))$  получим после варьирования (1) следующее уравнение

$$x_0^2 u'' - u^3 + \lambda u = 0, \quad (2)$$

где  $u(x) = \sqrt{b} M_z(x)$ ,  $\lambda = b M_0^2 + \beta$ . Как обычно, будем предполагать, что при  $\tau = 0$ ,  $\lambda(\tau)$  меняет знак ( $\lambda(0) = 0$ ), где  $\tau = (T_c - T)/T_c$ ,  $T_c$  – температура Кюри. Можно показать, что внутри пластинки  $\mathbf{H}_m \approx 0$ , поэтому  $\mathbf{H}_m$  не входит в уравнение (2) для распределения намагничения в глубине пластинки.

Решение уравнения (2) имеет вид

$$u(x) = \frac{\sqrt{2\lambda} k}{\sqrt{1+k^2}} \operatorname{sn}\left(\frac{\sqrt{\lambda} x}{\sqrt{1+k^2} x_0}, k\right), \quad D = \frac{4K(k)x_0\sqrt{1+k^2}}{\lambda^{1/2}}, \quad (3)$$

где  $\operatorname{sn}$  – эллиптический синус с модулем  $k$ , ( $0 \leq k \leq 1$ ), причем  $k$  имеет также смысл константы интегрирования (вторая константа интегрирования выбрана так, чтобы  $u(0) = 0$ ). Решение (3) описывает периодическое с периодом  $D$  ( $K(k)$  – полный эллиптический интеграл первого рода) распределение намагниченности (см. рис. 1).

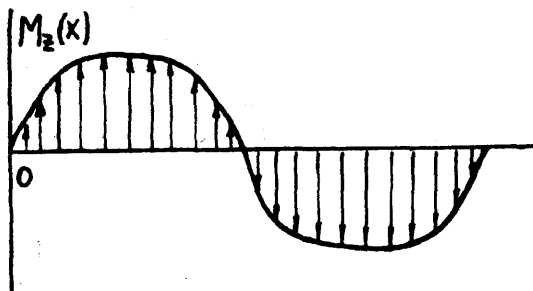


Рис. 1. Распределение намагниченности в одноосном ферромагнетике вблизи точки Кюри

По распределению (3) можно, решая соответствующую магнитостатическую задачу, вычислить  $\mathbf{H}_m$ , после чего найти свободную энергию  $F$ , отнесенную к единице объема тела, как функцию  $k$  и  $\lambda$ .

$$F = b^{-1}\lambda^2 A(k) + (\lambda^{1/2} x_0 / b \ell_3) B(k), \quad (4)$$

где

$$A(k) = \frac{k^2}{3(1+k^2)^2} + \frac{4}{3(1+k^2)} - \frac{3}{4} + \frac{E(k)(3k^2-1)}{3K(k)(k^2+1)};$$

$$B(k) \approx 16\pi \frac{K(k) - E(k)}{\sqrt{1+k^2}}$$

и  $E(k)$  – полный эллиптический интеграл второго рода.

Первое слагаемое в (4) обусловлено объемной энергией ферромагнетика, а второе – энергия магнитного поля  $\mathbf{H}_m$ . Параметр  $k$  определим из условия  $\partial E / \partial k = 0$ . Нетрудно убедиться, что  $B(k)$  – монотонно возрастающая функция  $k$  (с минимумом при  $k = 0$ ). Это соответствует тому, что с ростом периода  $D$  распределения (3) растет область пространства около поверхности пластинки, в которой сосредоточено магнитное поле  $\mathbf{H}_m$ . Функция  $A(k)$  имеет два минимума: при  $k = 0$ , при  $k = 1$ . Очевидно, что  $F$  также имеет минимум при  $k = 0$  (см. рис.2). Этот минимум соответствует парамагнитному состоянию тела, так как при  $k = 0$   $\mathbf{M} = \mathbf{H}_m = 0$  (см. (3)). При таких температурах, что

$\lambda(\tau) \ll (x_0/\ell_3)^{2/3}$ ,  $F(k, \lambda)$  имеет только один минимум, так как первое слагаемое в (4) при этом мало по сравнению со вторым. С ростом  $\lambda$  (т. е. понижением температуры) при  $\lambda(\tau) \sim (x_0/\ell_3)^{2/3}$  у функции  $F(k, \lambda)$  появляется еще один минимум при  $k = k_0(\tau)$ , который соответствует магнитоупорядоченному состоянию. Аналитическое выражение для  $k_0$  получить не удастся (оценки показывают, что  $0 < k_0 \lesssim 1$ ). Таким образом, в области температур, где  $\lambda(\tau) \sim (x_0/\ell_3)^{2/3}$ , на кривой  $F(k, \lambda)$  имеется два минимума, соответствующих пара- и ферромагнитному состояниям, т. е. возникает типичная для фазовых переходов первого рода ситуация со стабильным и метастабильным состояниями. В результате этого переход от парамагнитной фазы в ферромагнитную становится фазовым переходом первого рода, причем температура перехода  $T_{II}$  определяется из условия

$$F(0, \lambda(\tau)) = F(k_0(\tau), \lambda(\tau)).$$

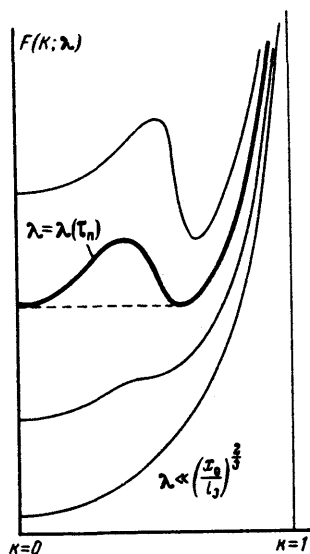


Рис. 2. Кривые  $F(k; \lambda)$  при различных температурах (схематически)

Легко оценить, насколько температура  $T_{II}$  отличается от  $T_c$ . Предполагая [5], что  $\lambda(\tau) = \xi\tau$  и замечая, что при  $T = T_{II}$ ,  $\lambda \sim (x_0/\ell_3)^{2/3}$ , найдем

$$(T_c - T_{II})/T_c \equiv \tau_{II} \approx \frac{1}{\xi} \left( \frac{x_0}{\ell_3} \right)^{2/3}; \quad \xi \sim \frac{1}{\mu^2} \sigma^3.$$

Амплитуда  $M$ , возникающего при  $\tau = \tau_{II}$  намагничения пропорциональна:  $M \sim b^{-1/2} (x_0/\ell_3)^{1/3}$ . Так как  $M$  пропорционально малому параметру  $(x_0/\ell_3)^{1/3}$ , то мы имеем дело с фазовым переходом первого рода, близким к фазовому переходу второго рода.

Для очень тонких пластинок ( $\ell_3 \ll x_0$ ) неоднородное распределение становится энергетически невыгодным [5].

Оценим величину периода намагничения  $D_2$  в окрестности  $T_p$ . Считая  $x_0 \sim 3 \cdot 10^{-6}$  см,  $\ell_3 \sim 10^{-1}$  см,  $\lambda \sim (x_0 / \ell_3)^{2/3}$ , получим из (3)  $D \approx 10^{-3}$  см. Эта величина значительно меньше наблюдаемых в работах [1, 2] периодов намагничения, которые порядка  $10^{-1}$  см. Отличие может быть связано либо с влиянием магнитного поля на размеры доменов, либо с тем, что в [1, 2] исследовались кубические кристаллы, а наше рассмотрение относится к одноосным кристаллам.

В заключение авторы благодарят А.И.Ахиезера, М.И.Каганова, С.В.Малеева, С.В.Пелетминского, В.А.Попова и В.В.Тарасенко за интерес к работе и полезные дискуссии.

Харьковский  
государственный университет  
им. А.М.Горькова

Поступила в редакцию  
16 января 1972 г.

### Литература

- [1] Г.М.Драбкин, Е.И.Забидаров, Я.А.Касман, А.И.Окороков. ЖЭТФ, 56, 478, 1969.
  - [2] Г.М.Драбкин, А.И.Окороков, В.И.Волков, А.Ф.Щебетов. Письма в ЖЭТФ, 13, 3, 1971.
  - [3] С.В.Вонсовский. ДАН СССР, 27, 550, 1040; Изв. АН СССР, сер. физ., 11, 485, 1947; В.Л.Гинзбург, ЖЭТФ, 17, 833, 1947.
  - [4] В.Л.Покровский. УФН, 94, 127, 1968.
  - [5] Л.Д.Ландау, Е.М.Лифшиц. Электродинамика сплошных сред. М., Гостехиздат, 1957.
-